

い程大きくなり、とるべき θ の範囲は0(誤検出した場合)から $\pi/2$ の間となる。そこで、最寄中継端末からの距離が十分大きい場合、 θ を0と $\pi/2$ の中間値である $\pi/4$ とする。以上から θ の範囲を $\pi/4 \sim \pi/2$ とする。また、 θ の大きさはRSSIに比例させることとし、RSSIの測定限界値(最小値)で $\pi/4$ 、探索終了しきい距離におけるRSSI(自由電界モデルで想定)で $\pi/2$ となるよう制御する。

4. 計算機シミュレーション

上述のアルゴリズムを用いて、移動探索特性の計算機シミュレーションを行った。用いた諸量を表1に示す。計算機シミュレーションでは、電波伝搬モデルとして2波モデルを用いた。なお、探索開始時の移動方向は0から 2π の間で一様とした。

図2は探索開始距離に対する移動距離の特性例である。受信電界強度の変動がない場合には比較的短距離で探索できるが、変動が大きくなると移動距離が大幅に増加することが分かる。図3は移動軌跡の例である。移動方向は時計周りに制御している。同図から弧を描きながら探索することが分かる。図4は保護段数(リセットカウンタ段数n)に対する移動距離の違いを示している。同図より、保護は移動距離の短縮に有効であることが分かる。また、保護段数nには最適値が存在することが分かる。

表1 計算機シミュレーション諸量

波長	1m
発信電力	10mW
アンテナの高さ	発信機1.5m, 受信機1.2m
アンテナ利得	送受とも1.0
電波伝搬モデル	2波モデル
受信電界強度の変動err	変動なし、もしくは平均2/5dB(片側)で正規分布
探索終了しきい距離	3m
RSSI測定間隔	0.5m
RSSI変化検出保護のためのリセットカウンタ段数n	1~4 (1は保護無し)
RSSI測定範囲	-100dBm以上

[2] 三輪進: 電波の基礎と応用, 第5章, 東京電機大学出版局 (2000.9)

[3] 矢部博, 八巻直一: 非線形計画法, 第2章, 朝倉書店 (1999.6)

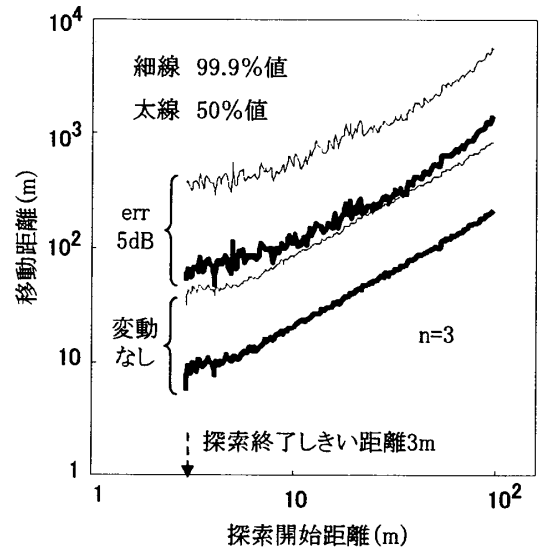


図2 移動距離特性

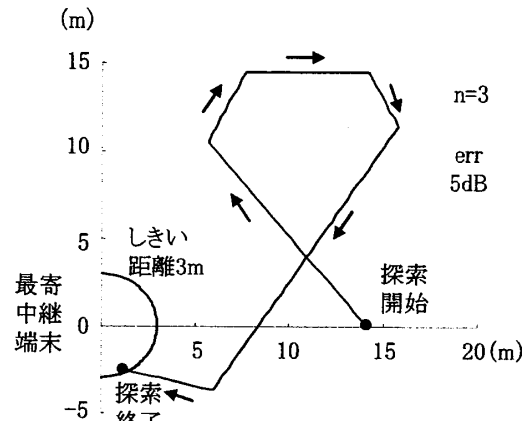


図3 移動軌跡

5. むすび

アドホックネットワークにおける最寄中継端末への移動探索アルゴリズムを提案し、計算機シミュレーションを行った。提案アルゴリズムでは、受信電界強度の減少を検出して移動方向を制御しながら漸近し、所定のしきい距離に到達すると探索を終了する。計算機シミュレーションの結果、受信電界強度の変動が大きいと移動距離も大幅に増加することが確認された。今後、移動探索アルゴリズムの改良を検討し、設計法の確立を図る。

文献

[1] 石井和行, 佐藤直: 無線アドホックネットワークにおける発信者位置への駆けつけ方式の一検討, SCIS2008, 4A2-4 (2008.1)

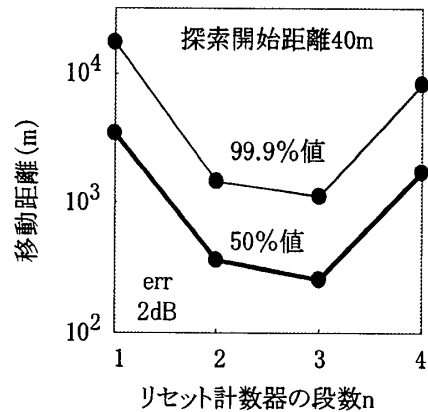


図4 保護特性